

NILU : OR 81/98
REFERENCE : O-98122
DATE : OKTOBER 1998
ISBN : 82-425-1043-1

**Nye beregninger av
luftforurensning for
alternativer av utbygging
i Bjørvika, Oslo**

Dag Tønnesen og Ivar Haugsbakk

Innhold

	Side
Sammendrag.....	2
1. Innledning	3
2. Metodebeskrivelse.....	3
3. Inngangsdata	5
4. Beregningsresultater	6
5. Konklusjon.....	9
Vedlegg A Veilenker med tilhørende utslipp av NO_X.....	10
Vedlegg B Beregnete konsentrasjoner av NO_X for tolv vindretninger	13

Sammendrag

Norsk institutt for luftforskning (NILU) har på oppdrag fra Asplan Viak utført beregninger av luftforurensning fra biltrafikk i forbindelse med konsekvensutredning for utbygging av Bjørvikaforbindelsen. Tidligere er tre ulike alternative veinett vurdert med hensyn på trafikktall for år 2010; - dagens veinett, alternativ B med omfattende tunnelsystem under Bispevika/Bjørvika og alternativ D med enkel tunnelforbindelse fra Ekebergtunnelen til Oslotunnelen under Bispevika/Bjørvika (Tønnesen og Haugsbakk, 1996). Det er utført beregninger og vurderinger for etappeløsninger og utbyggingsalternativer i fem alternatiaver til dagens veinett; etappe 1, etappe 2 variant B og D, etappe 3 variant tunnel og variant bru.

Beregningene er utført ved å benytte nitrogenoksider (NO_x) som indikatorstoff for forurensning av biltrafikk, og viser at utslipp fra biltrafikken alene er store nok til at anbefalte luftkvalitetskrtierier for NO_2 overskrides innenfor store deler av beregningsområdet.

En vurdering av de enkelte alternativene mot hverandre, basert på nivået av de høyeste konsentrasjonene beregnet i 29 punkter i området, viser at dagens veinett gir størst forurensningsbelastning. Forskjellen mellom variant B og variant D i etappe 2 er liten. Etappe 3 med tunnel gir lavest forurensningsbelastning.

Nye beregninger av luftforurensning for alternativer av utbygging i Bjørvika, Oslo

1. Innledning

Norsk institutt for luftforskning (NILU) har på oppdrag fra Asplan Viak utført beregninger av luftforurensning fra biltrafikk i forbindelse med konsekvensutredning for utbygging av Bjørvikaforbindelsen. Beregningene er utført som en oppgradering av tidligere utførte beregninger (Tønnesen og Haugsbakk, 1996). Fem ulike alternative veinett til dagens veinett er vurdert med hensyn på trafikktall for år 2010; etappe 1, etappe 2 variant B og D, etappe 3 variant tunnel og variant bru. Det er utført modellberegninger for tre av løsningene, mens etappe 1 og etappe 3 variant bru er vurdert i forhold til endring av trafikkmønster og øvrige beregningsresultater. Det er beregnet utsipp og spredning av nitrogenoksid (NO_x) innenfor området begrenset av Dronningens gate-Stenersgata-Grønland-Grønlandsleiret-Oslogate-Kongsveien, som vist på figur 1.

2. Metodebeskrivelse

For å kvantifisere forskjellen i luftforurensningsbelastning i området ved de fem forskjellige alternativene er nitrogenoksid (NO_x) valgt som indikatorstoff. På bakgrunn av trafikkprognoser for år 2010 er utsipp av NO_x beregnet langs veiene og i tunneler med munningsutsipp innenfor beregningsområdet ved hjelp av NILUs utslippsmodeller for veitrafikk.

Utslippene er deretter anvendt i spredningsmodellen "TRAFORO" som er basert på Environmental Protection Agency's (EPA's) modell HIWAY2. Modellen TRAFORO har blant annet vært benyttet i undersøkelsen "Trafikk og Miljø" utført i området Vålerenga/Gamlebyen. Modellen beregner forurensning i gitte "reseptorpunkter" for et antall gitte spredningssituasjoner. Ved å variere vindretningen oppnås derved en beregning av både maksimalbelastning og hvilken belastning som inntreffer ved de hyppigst forekommende spredningsforhold.

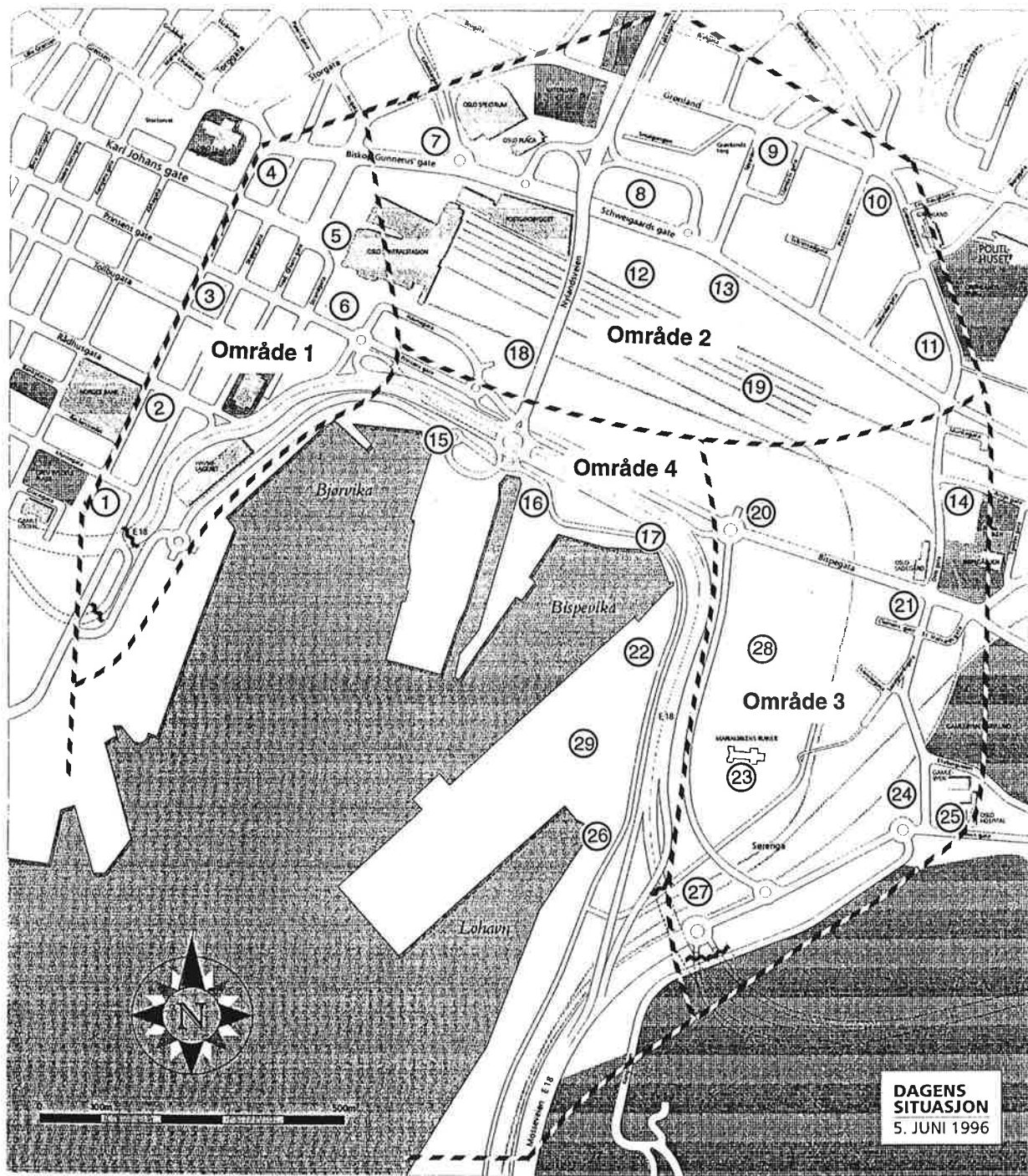
De anvendte reseptorpunktene er vist i figur 1.

NO_x er valgt som indikatorstoff fordi det vanligvis er godt samsvar mellom beregnede og målte verdier, og også mellom forurensning av NO_x og støvbelastning. En vurdering av forventet forurensningsnivå av nitrogendioksid (NO₂) på bakgrunn av de beregnede verdiene av NO_x er også gitt, fordi anbefalte luftkvalitetskriterier foreligger for NO₂ og ikke for NO_x.

På grunn av beregningsområdets plassering i Oslo vil anbefalt luftkvalitetskriterium for timemiddelkonsentrasjon av NO₂ (100 µg/m³) alltid kunne overskrides i beregningsområdet som følge av utsipp og spredning av forurensning utenfor beregningsområdet. For å kunne gi et best mulig grunnlag for en innbyrdes range-

ring av alternativene er det kun beregnet bidrag fra trafikken i beregningsområdet for de ulike alternativene.

Beregningene er utført med forutsetning om at Oslo-tunnelen m/forlengelse ventileres ut gjennom utslippstårnene og ikke gjennom tunnelmunningene. Bidrag i bakkenivå fra utslippstårn vil bli svært små sammenlignet med bidrag fra trafikk på vei og er derfor ikke inkludert i beregningene.

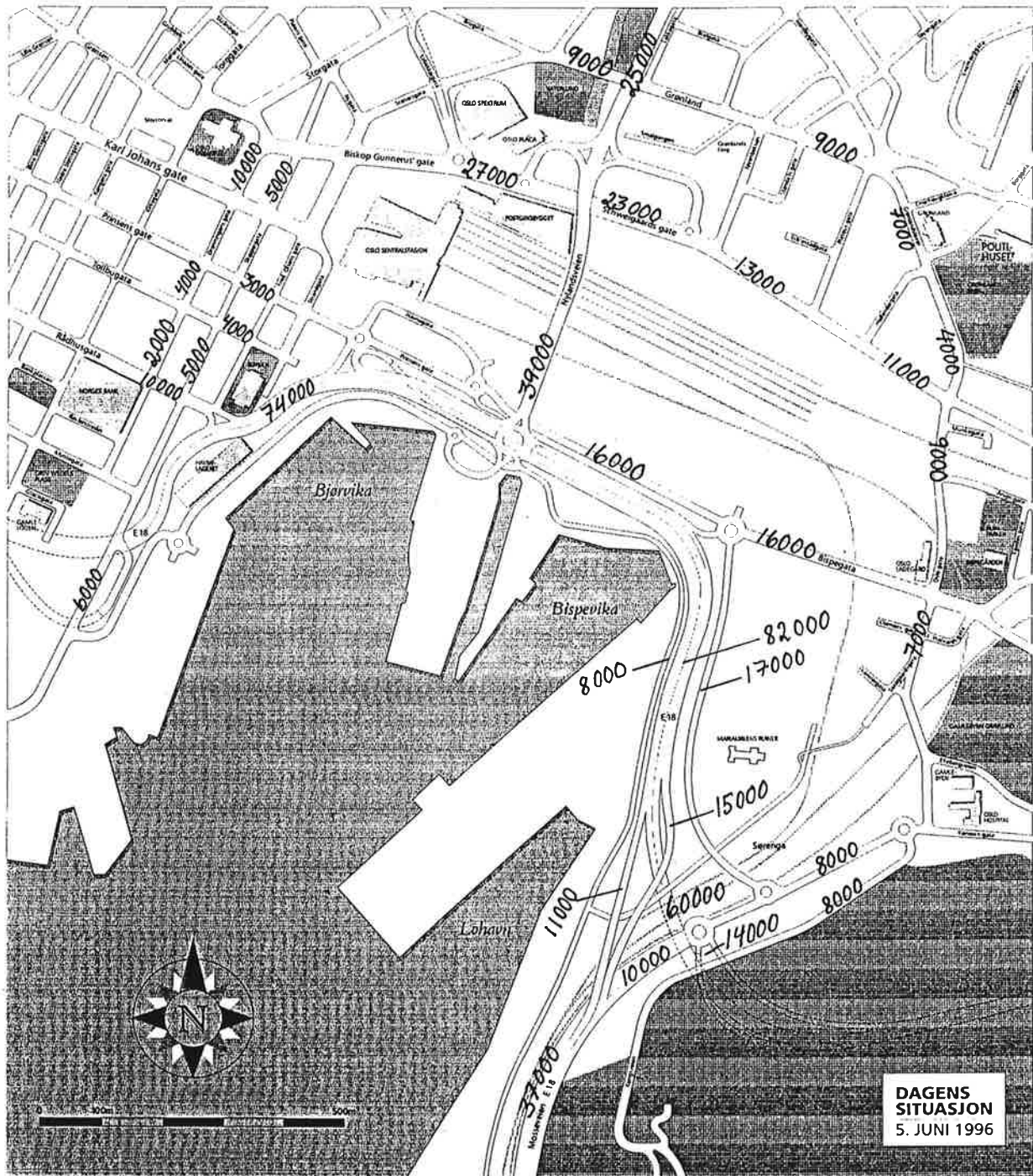


*Figur 1: Avgrensing av beregningsområdet og reseptorpunktene plassering.
~~~~ Tunnelmunninger.*

### 3. Inngangsdata

Beregningene er utført for trafikkprognosenter for år 2010 for alle de alternative løsningene. Kjører hastigheten på veiene er klassifisert fra 40 til 80 km/h avhengig av veitype. Dagens vegløsning med tilhørende trafikktall er vist i figur 2. Det henvises til øvrig rapportering for utforming av de andre alternativene.

Trafikktall for de ulike alternativer er levert av oppdragsgiver. Inngangsdataene er komplementert ved å vurdere trafikkvolumet på tilstøtende veier der trafikktall ikke er oppgitt.



Figur 2: Veiuforming og trafikktall, dagens veisystem.

For beregningene er et lokalt koordinatsystem med origo i nedre venstre hjørne av kartutsnittene benyttet. Utslipp av NO<sub>x</sub> på enkeltlenkene for dagens løsning er vist i vedlegg A. Tunnelutslipp er lagt inn som tillegg i trafikkutslippet i området utenfor tunnelmunningene.

#### 4. Beregningsresultater

Spredningsberegningene er utført for tolv middelvindretninger. De hyppigst forekommende vindretningene i området er vind fra 60 grader (nordøst) og 210 grader (sørvest).

Beregningresultater for alle beregningspunkter og 12 vindretninger er vist i tabeller i vedlegg B. Tabell 1 nedenfor viser maksimalkonsentrasjoner i beregningspunktene for de tre beregnede alternativene og for dagens løsning. I tabellen er beregningspunktene gruppert innefor de samme "områdene" som vist i figur 1.

*Tabell 1: Maksimalbelastning av NO<sub>x</sub> i beregningspunktene for alternativene.  
Enhet: µg/m<sup>3</sup>.*

|       | Punkt nr | X-RES | Y-RES | Alt 3 | Alt 2d | Alt 2b | Dagens |
|-------|----------|-------|-------|-------|--------|--------|--------|
| Omr 1 | 1        | 0.225 | 1.200 | 378   | 394    | 391    | 790    |
|       | 2        | 0.322 | 1.331 | 290   | 323    | 322    | 720    |
|       | 3        | 0.400 | 1.500 | 111   | 185    | 220    | 383    |
|       | 4        | 0.490 | 1.700 | 375   | 374    | 377    | 519    |
|       | 5        | 0.582 | 1.495 | 523   | 545    | 546    | 519    |
|       | 6        | 0.600 | 1.462 | 661   | 689    | 692    | 740    |
| Omr 2 | 7        | 0.700 | 1.550 | 248   | 289    | 298    | 587    |
|       | 8        | 1.070 | 1.650 | 408   | 454    | 418    | 711    |
|       | 9        | 1.330 | 1.760 | 68    | 141    | 143    | 364    |
|       | 10       | 1.500 | 1.730 | 86    | 143    | 138    | 192    |
|       | 11       | 1.600 | 1.400 | 341   | 345    | 338    | 602    |
|       | 12       | 1.085 | 1.532 | 575   | 761    | 490    | 656    |
|       | 13       | 1.268 | 1.525 | 140   | 217    | 121    | 391    |
|       | 18       | 0.928 | 1.400 | 110   | 1364   | 1686   | 1028   |
|       | 19       | 1.310 | 1.345 | 366   | 493    | 165    | 321    |
|       | 14       | 1.608 | 1.185 | 82    | 159    | 148    | 492    |
| Omr 3 | 20       | 1.290 | 1.123 | 377   | 471    | 878    | 490    |
|       | 21       | 1.560 | 0.994 | 170   | 195    | 286    | 375    |
|       | 23       | 1.260 | 0.740 | 518   | 524    | 484    | 948    |
|       | 24       | 1.538 | 0.663 | 300   | 300    | 289    | 597    |
|       | 25       | 1.615 | 0.631 | 551   | 499    | 537    | 240    |
|       | 27       | 1.200 | 0.520 | 2795  | 2777   | 2801   | 4950   |
|       | 28       | 1.278 | 0.915 | 688   | 692    | 663    | 599    |
|       | 15       | 0.773 | 1.270 | 904   | 783    | 815    | 691    |
| Omr 4 | 16       | 0.904 | 1.185 | 495   | 364    | 603    | 482    |
|       | 17       | 1.155 | 1.085 | 491   | 611    | 865    | 1588   |
|       | 22       | 1.102 | 0.929 | 884   | 929    | 1207   | 1333   |
|       | 26       | 1.025 | 0.623 | 2853  | 2853   | 2861   | 2468   |
|       | 29       | 1.000 | 0.800 | 1515  | 1509   | 1520   | 725    |

Konsentrasjonene i tabellen er gitt som NO<sub>x</sub>. For den trafikksammensetningen og lengdeprofil på veiene som er dominerende i området, vil ca. 8% av NO<sub>x</sub> forekomme som NO<sub>2</sub> i utslippene. I tillegg vil NO-andelen i utslippene fra trafikken oksideres til NO<sub>2</sub> ved ozon (O<sub>3</sub>) i området. NO<sub>x</sub>-konsentrasjoner på litt under 5 000 µg/m<sup>3</sup> vil da gi NO<sub>2</sub>-konsentrasjoner over 400 µg/m<sup>3</sup>. NO<sub>x</sub>-konsentrasjoner på 2 000 µg/m<sup>3</sup> gir NO<sub>2</sub>-konsentrasjonen over 200 µg/m<sup>3</sup>, mens NO<sub>x</sub>-konsentrasjoner på rundt 600 µg/m<sup>3</sup> vil gi NO<sub>2</sub>-konsentrasjonen på ca. 100 µg/m<sup>3</sup>, som er SFTs anbefalt luftkvalitetskriterium for NO<sub>2</sub> (SFT, 1992 og 1998).

Bidraget fra trafikken i området vil altså alene kunne medføre overskridelse av luftkvalitetskriteriet for NO<sub>2</sub> når den beregnede konsentrasjonen av NO<sub>x</sub> er over 600 µg/m<sup>3</sup>. Beregningspunktene 15, 16, 17, 18 og 20 dekker områder som planlegges utnyttet til boliger. Etter fullføring av etappe 3 forekommer NO<sub>x</sub>-konsentrasjoner over 600 µg/m<sup>3</sup> kun ved ett av disse punktene (15: innerst i Bjørvika). Før trafikken flyttes fra den eksisterende Nylandsbrua vil det forekomme forholdsvis store overskridelser nær denne (punkt 18).

På grunn av samlet belastning fra trafikk i området og konsentrasjonspåvirkningen fra utsiden av beregningsområdet, vil det alltid kunne forekomme overskridelse av anbefalt luftkvalitetskriterium på 100 µgNO<sub>2</sub>/m<sup>3</sup>. For å unngå innendørs eksponering av luft med dårligere luftkvalitet enn anbefalt kriterium, må boligene ha balansert ventilasjonssystem med friskluftsinntak i takhøyde.

For de valgte beregningspunktene forekommer maksimalbelastningen oftest for vind fra sør-sørøst til vest-sørvest (150 til 240 grader).

Nedenfor er det gitt en beskrivelse av de ulike etappeløsningene og en vurdering av maksimalbelastninger fra grupper av beregningspunkter (se figur 1, side 4). På grunn av at koordinatene måtte leses av på nytt er noen av forskjellene til "dagens løsning" som skyldes en litt ulik plassering nå i forhold til de tidligere beregningene. Dette gjelder spesielt punkt 27 som ligger veldig nær Ekebergtunnelens munning, og en liten forskyvning av punktet i forhold til utslippet gir stort utslag for beregnet belastning. De beregnede løsningene er imidlertid innbyrdes sammenlignbare.

**Etappeløsning 1:** Denne er ikke beregnet. Etappeløsningen består i etablering av ny tunnel under Bjørvika. Dette innebærer flytting av en vesentlig trafikkmengde fra dagens vegtrasé til tunnelen hvor utslippene blir tatt hånd om av tunnelens ventilasjonsanlegg. Belastning av forurensning fra trafikk vil derfor bli vesentlig redusert langs nåværende vegtrasé ved Bispevika og Bjørvika. Omleggingen innebærer også en viss trafikkreduksjon i "kvadraturen", og bidraget til forurensningsbelastning fra den enkelte gate kan noen steder gå ned med rundt 20 %, noe som vil innebære en reduksjon av maksimalbelastningen på ca. 10 %. For middelalderbyen innebærer etappeløsningen at den nærmeste store trafikkstrømmen forskyves litt lenger vest, uten at dette vil medføre noen vesentlig konsentrasjonsreduksjon for forurensning fra biltrafikk.

**Etappe 2, variant B:** Beregning av belastning av nitrøse gasser er utført for tilsvarende beregningspunkter som i den tidligere utredningen. Etappeløsningen består i at ”Nylands Alle” er ferdig utbygget, slik at trafikken mellom Bispevika og Bjørvika trekkes lenger inn fra strandkanten og fordeles på to forbindelser øst-vest. Fra Sørenga nordover til Bispevika vil det være to separate vegtraséer.

**Etappe 2 , variant D:** Beregning av belastning av nitrøse gasser er utført for tilsvarende beregningspunkter som i den tidligere utredningen. Etappeløsningen skiller seg fra variant B ved at en ekstra trafikkåre er ført over sporområdet fra Bispevika mot riksvei 4. Utformingen av krysset på Sørenga er også noe forskjellig, og trafikken nærmest strandkanten ved Bispevika er flyttet til Nylands Alle og den nye tverrforbindelsen.

**Etappe 3 , variant tunnel:** Beregning av belastning av nitrøse gasser er utført for tilsvarende beregningspunkter som i den tidligere utredningen. Etappeløsningen ligner variant 2D med en ekstra trafikkåre ført over sporområdet fra Bispevika mot riksvei 4. I tillegg er forbindelsen mellom E18 og RV 4 lagt i tunnel fra Sørenga til nord for Nylandsbrua.

**Etappe 3 , variant bru:** Belastningen er vurdert i forhold til tunnelalternativet, og ikke beregnet. For brualternativet er forbindelsen mellom E18 og RV 4 lagt på bru over Bispevika og derfra i tunnel til området nord for den nåværende Nylandsbrua. Dette vil medføre øket belastning i forhold til tunnelalternativet for ”område 4” i størrelsesorden 100- 200  $\mu\text{g}/\text{m}^3$  NOx for området ved vannkanten og ved det nåværende bispelokket.

Områdevise sammenligning mellom beregnede alternativer:

#### **Område 1 (Vest for Oslo S).**

Beregningspunkt 5 og 6 nær Oslo Sentralstasjonens parkeringsområde viser økning eller svak nedgang i forhold til dagens løsning. De øvrige punktene, inne i ”kvadraturen” viser reduksjon til halvparten av nivået ved dagens løsning. De tre beregnede etappene atskiller seg lite fra hverandre, men etappe 3 har lavest belastningsnivå.

#### **Område 2 (På , nord og øst for sporområdet ved Oslo S).**

Etappe 2B og 2D viser økt belastning ved Nylandsveien i forhold til dagens løsning , mens etappe 3 viser sterk nedgang i belastningen. Etappe 3 og 2D viser en (mindre) økning i belastningen på sporområdet nær den nye bruа i forhold til dagens løsning og 2B. Forøvrig reduseres belastningen i forhold til dagens løsning, og reduksjonen er størst for etappe 3.

#### **Område 3 (Øst for dagens vegtrasé).**

Maksimalbelastningen i området inntreffer ved utløpet av Ekebergtunnelen. Forskjellen mellom etappene er liten, og den tilsynelatende nedgangen fra dagens løsning skyldes ulik plassering av beregningspunktet. Økningen fra dagens løsning for de ulike etappene i beregningspunkt 25 skyldes at trafikken lenger øst er inkludert i beregningene nå i motsetning til tidligere. Beregningspunkt 20 ved Bispegata viser en økning for etappe 2B, mens dagens løsning og de to andre

etappene har rimelig lik konsentrasjon. I øvrige punkter går belastningen ned i forhold til dagens løsning, og er lavest for etappe 3 i de fleste punktene.

#### **Område 4 (På sjøsiden av nåværende vegtrasé).**

Alle etappene viser økt konsentrasjon i punkt 26 og 29. Økningen er en følge av at mer trafikk vil foregå nærmere beregningspunktet enn for dagens vegsystem. Også for punkt 15, innerst i Bjørvika, viser beregningene økt konsentrasjon fra dagens løsning, men dette kommer antagelig av at beregningspunktet er forskjøvet i forhold til de tidligere beregningene. Indre del av Bispevika (punkt 17 og 22) viser redusert belastning i forhold til dagens løsning som følge av redusert trafikkmengde på veg i dagen nær punktene. Der det er vesentlig forskjell mellom de tre etappene er konsentrasjonen lavest for etappe 3.

### **5. Konklusjon**

Beregninger av NO<sub>x</sub>-konsentrasjoner i luft som følge av utslipp fra trafikk i beregningsområdet er gjennomført for alternative veiløsninger. Beregningene er basert på trafikkprognosenter for år 2010, og er utført med forutsetning om at utslipp fra Oslotunnelen skjer via ventilasjonstårn.

Beregningene viser at for alle alternativer vil bidraget fra trafikkutslipp i området alene kunne medføre overskridelse av anbefalt luftkvalitetskriterium for NO<sub>2</sub> i det meste av beregningsområdet. Bidraget fra kilder utenfor området kommer i tillegg, og vil gi like stor konsentrasjon. I vinterhalvåret vil forurensningsnivået under "episodedøgn" kunne bli over det dobbelte av anbefalt luftkvalitetskriterium. Det høyeste konsentrasjonsnivået over størst område vil forekomme ved Dagens løsning. Forskjellen mellom etappe 2 alternativ B og alternativ D er liten. Etappe 3 med tunnel gir gjennomgående lavere belastning enn de øvrige alternativene.

En samlet vurdering av alternativene, basert på forekomst av høye luftforurensninger viser at Dagens løsning er dårligst, og alternativ etappe 3 med tunnel er best.

### **6. Referanser**

Tønnesen, D. og Haugsbakk, I. (1996) Beregning av luftforurensning for tre alternativer av utbygging i Bjørvika, Oslo. Kjeller (NILU OR 65/96).

Statens forurensningstilsyn (1992) Virkninger av luftforurensninger på helse og miljø. Anbefalte luftkvalitetskriterier. Oslo (SFT-rapport nr. 92:16).

Statens forurensningstilsyn (1998) Veiledning til forskrifter om grenseverdier for lokal luftforurensning og støy. Oslo (SFT-rapport nr. 98:03).

## **Vedlegg A**

### **Veilenker med tilhørende utslipp av NO<sub>x</sub>**

### Dagens situasjon

| Veilenker |       |       |       | Utslipp<br>(g/s) |
|-----------|-------|-------|-------|------------------|
| X1        | Y1    | X2    | Y2    |                  |
| 1,140     | 0,350 | 1,550 | 0,600 | 0,000344         |
| 0,925     | 0,050 | 1,110 | 0,290 | 0,001406         |
| 1,110     | 0,290 | 1,200 | 0,460 | 0,000380         |
| 1,200     | 0,460 | 1,315 | 0,525 | 0,000304         |
| 1,315     | 0,525 | 1,540 | 0,625 | 0,000304         |
| 1,540     | 0,625 | 1,540 | 0,860 | 0,000301         |
| 1,540     | 0,860 | 1,580 | 1,005 | 0,000301         |
| 1,580     | 1,005 | 1,255 | 1,120 | 0,000824         |
| 1,580     | 1,005 | 1,615 | 1,330 | 0,000387         |
| 1,615     | 1,330 | 1,575 | 1,540 | 0,000206         |
| 1,575     | 1,540 | 1,510 | 1,715 | 0,000361         |
| 1,510     | 1,715 | 0,950 | 1,890 | 0,000387         |
| 0,950     | 1,890 | 0,640 | 1,750 | 0,000387         |
| 1,615     | 1,330 | 1,475 | 1,415 | 0,000473         |
| 1,475     | 1,415 | 1,190 | 1,590 | 0,000418         |
| 1,190     | 1,590 | 0,815 | 1,710 | 0,000989         |
| 1,190     | 1,590 | 1,195 | 1,660 | 0,000670         |
| 1,195     | 1,660 | 1,040 | 1,725 | 0,000670         |
| 1,040     | 1,725 | 1,145 | 1,970 | 0,000950         |
| 1,040     | 1,725 | 0,960 | 1,740 | 0,000515         |
| 1,040     | 1,725 | 1,005 | 1,550 | 0,002009         |
| 0,960     | 1,740 | 0,920 | 1,680 | 0,000515         |
| 0,815     | 1,710 | 0,495 | 1,740 | 0,001161         |
| 1,315     | 0,525 | 1,225 | 0,585 | 0,000646         |
| 1,225     | 0,585 | 1,185 | 0,700 | 0,000646         |
| 1,185     | 0,700 | 1,225 | 0,900 | 0,000646         |
| 1,225     | 0,900 | 1,225 | 1,120 | 0,000646         |
| 0,855     | 0,050 | 1,090 | 0,650 | 0,000304         |
| 1,090     | 0,650 | 1,170 | 0,950 | 0,000304         |
| 1,110     | 0,290 | 1,100 | 0,650 | 0,000418         |
| 1,100     | 0,650 | 1,190 | 0,950 | 0,003116         |
| 1,190     | 0,950 | 1,180 | 1,090 | 0,003116         |
| 1,110     | 0,290 | 1,120 | 0,650 | 0,000570         |
| 1,120     | 0,650 | 1,145 | 0,755 | 0,000570         |
| 1,100     | 0,650 | 1,145 | 0,505 | 0,003116         |
| 1,255     | 1,120 | 0,650 | 1,430 | 0,000688         |
| 0,650     | 1,430 | 0,395 | 1,545 | 0,000129         |
| 1,180     | 1,090 | 0,900 | 1,265 | 0,003116         |
| 0,900     | 1,265 | 0,750 | 1,350 | 0,003116         |
| 0,750     | 1,350 | 0,625 | 1,365 | 0,002812         |
| 0,625     | 1,362 | 0,445 | 1,295 | 0,002812         |
| 0,445     | 1,295 | 0,375 | 1,250 | 0,002812         |
| 0,375     | 1,250 | 0,325 | 1,175 | 0,002812         |
| 0,325     | 1,175 | 0,270 | 1,100 | 0,002812         |
| 0,175     | 0,950 | 0,375 | 1,250 | 0,000309         |
| 0,375     | 1,250 | 0,550 | 1,750 | 0,000258         |
| 0,445     | 1,295 | 0,315 | 1,360 | 0,000515         |
| 0,525     | 1,395 | 0,360 | 1,475 | 0,000216         |

## Dagens situasjon forts.

| Veilenker |       |       |       | Utslipp<br>(g/s) |
|-----------|-------|-------|-------|------------------|
| X1        | Y1    | X2    | Y2    |                  |
| 0,315     | 1,360 | 0,360 | 1,475 | 0,000108         |
| 0,360     | 1,475 | 0,440 | 1,650 | 0,000216         |
| 0,440     | 1,650 | 0,495 | 1,740 | 0,000515         |
| 1,005     | 1,550 | 0,900 | 1,265 | 0,001677         |
| 1,165     | 0,460 | 1,125 | 0,550 | 0,033787         |

## **Vedlegg B**

### **Beregnete konsentrasjoner av NO<sub>x</sub> for tolv vindretninger**

Dagens situasjon

| Nr. | Reseptorpunkter |       | Konsentrasjon i $\mu\text{g NO}_x/\text{m}^3$ med vindstyrke 1 m/s fra ulike vindretninger |       |       |       |     |       |       |       |       |       |       |       |
|-----|-----------------|-------|--------------------------------------------------------------------------------------------|-------|-------|-------|-----|-------|-------|-------|-------|-------|-------|-------|
|     | X               | Y     | 30                                                                                         | 60    | 90    | 120   | 150 | 180   | 210   | 240   | 270   | 300   | 330   | 360   |
| 1   | 0,250           | 1,160 | 96                                                                                         | 790   | 615   | 670   | 418 | 83    | 6     | 0     | 0     | 0     | 0     | 1     |
| 2   | 0,330           | 1,310 | 177                                                                                        | 254   | 720   | 418   | 346 | 338   | 28    | 0     | 0     | 0     | 19    | 117   |
| 3   | 0,360           | 1,375 | 93                                                                                         | 160   | 359   | 353   | 382 | 383   | 136   | 99    | 31    | 21    | 22    | 42    |
| 4   | 0,500           | 1,715 | 350                                                                                        | 457   | 505   | 115   | 519 | 150   | 108   | 224   | 141   | 178   | 271   | 383   |
| 5   | 0,595           | 1,595 | 93                                                                                         | 113   | 121   | 100   | 519 | 110   | 233   | 44    | 33    | 45    | 78    | 70    |
| 6   | 0,625           | 1,475 | 55                                                                                         | 129   | 73    | 463   | 740 | 227   | 254   | 110   | 59    | 24    | 37    | 43    |
| 7   | 0,775           | 1,745 | 50                                                                                         | 46    | 115   | 442   | 587 | 384   | 415   | 328   | 221   | 49    | 47    | 48    |
| 8   | 1,125           | 1,565 | 237                                                                                        | 231   | 80    | 35    | 41  | 711   | 131   | 332   | 151   | 332   | 335   | 268   |
| 9   | 1,325           | 1,730 | 67                                                                                         | 70    | 61    | 16    | 37  | 123   | 113   | 364   | 185   | 98    | 77    | 67    |
| 10  | 1,500           | 1,670 | 96                                                                                         | 94    | 95    | 105   | 84  | 61    | 164   | 180   | 192   | 89    | 64    | 81    |
| 11  | 1,600           | 1,400 | 57                                                                                         | 46    | 44    | 52    | 79  | 254   | 602   | 229   | 301   | 196   | 117   | 98    |
| 12  | 1,100           | 1,525 | 139                                                                                        | 79    | 40    | 15    | 45  | 656   | 133   | 318   | 153   | 255   | 280   | 188   |
| 13  | 1,240           | 1,525 | 108                                                                                        | 104   | 116   | 67    | 34  | 391   | 102   | 191   | 82    | 259   | 277   | 116   |
| 14  | 1,620           | 1,170 | 0                                                                                          | 0     | 0     | 0     | 0   | 26    | 492   | 293   | 357   | 207   | 180   | 105   |
| 15  | 0,780           | 1,275 | 691                                                                                        | 676   | 646   | 266   | 425 | 5     | 0     | 9     | 162   | 273   | 483   | 569   |
| 16  | 0,900           | 1,150 | 347                                                                                        | 309   | 314   | 132   | 291 | 27    | 0     | 0     | 77    | 127   | 304   | 482   |
| 17  | 1,125           | 1,100 | 1 081                                                                                      | 1 151 | 1 369 | 927   | 490 | 956   | 0     | 0     | 45    | 936   | 1 579 | 1 249 |
| 18  | 0,950           | 1,450 | 820                                                                                        | 737   | 605   | 583   | 932 | 1 028 | 247   | 249   | 50    | 36    | 51    | 83    |
| 19  | 1,300           | 1,350 | 34                                                                                         | 31    | 26    | 12    | 44  | 115   | 150   | 123   | 321   | 111   | 123   | 34    |
| 20  | 1,315           | 1,160 | 24                                                                                         | 17    | 12    | 71    | 124 | 145   | 490   | 313   | 345   | 92    | 123   | 24    |
| 21  | 1,525           | 0,975 | 185                                                                                        | 131   | 48    | 48    | 50  | 59    | 261   | 159   | 118   | 375   | 226   | 161   |
| 22  | 1,125           | 0,925 | 433                                                                                        | 527   | 534   | 538   | 575 | 1 333 | 2     | 0     | 3     | 94    | 280   | 269   |
| 23  | 1,275           | 0,780 | 43                                                                                         | 17    | 10    | 14    | 20  | 57    | 948   | 305   | 277   | 349   | 583   | 77    |
| 24  | 1,520           | 0,675 | 115                                                                                        | 97    | 91    | 97    | 108 | 83    | 79    | 597   | 134   | 188   | 145   | 108   |
| 25  | 1,630           | 0,650 | 0                                                                                          | 0     | 0     | 0     | 0   | 0     | 0     | 240   | 178   | 220   | 144   | 40    |
| 26  | 1,030           | 0,600 | 562                                                                                        | 523   | 505   | 2 468 | 492 | 123   | 4     | 0     | 0     | 19    | 87    | 227   |
| 27  | 1,200           | 0,520 | 115                                                                                        | 85    | 103   | 67    | 66  | 112   | 2 800 | 4 603 | 4 950 | 1 980 | 462   | 445   |
| 28  | 1,300           | 0,900 | 55                                                                                         | 45    | 11    | 11    | 18  | 39    | 599   | 298   | 289   | 409   | 386   | 59    |
| 29  | 1,050           | 0,800 | 227                                                                                        | 370   | 336   | 382   | 725 | 220   | 0     | 0     | 0     | 69    | 150   | 245   |

Alternativ 2b

| Nr. | Reseptorpunkter |       | Konsentrasjon i ug/m <sup>3</sup> med vindstyrke 1 m/s fra angitt retning |     |      |      |     |      |     |     |     |      |     |     |   |
|-----|-----------------|-------|---------------------------------------------------------------------------|-----|------|------|-----|------|-----|-----|-----|------|-----|-----|---|
|     | X               | Y     | 30                                                                        | 60  | 90   | 120  | 150 | 180  | 210 | 240 | 270 | 300  | 330 | 360 |   |
| 1   | 0.225           | 1.200 | 4                                                                         | 105 | 150  | 249  | 75  | 6    | 0   | 0   | 0   | 0    | 0   | 0   | 0 |
| 2   | 0.322           | 1.331 | 1                                                                         | 17  | 176  | 205  | 140 | 141  | 15  | 0   | 0   | 0    | 0   | 0   | 0 |
| 3   | 0.400           | 1.500 | 0                                                                         | 0   | 42   | 140  | 86  | 27   | 15  | 0   | 0   | 0    | 0   | 0   | 0 |
| 4   | 0.490           | 1.700 | 0                                                                         | 0   | 1    | 44   | 240 | 38   | 8   | 0   | 0   | 0    | 0   | 0   | 0 |
| 5   | 0.582           | 1.495 | 0                                                                         | 0   | 34   | 167  | 348 | 103  | 82  | 47  | 14  | 0    | 0   | 0   | 0 |
| 6   | 0.600           | 1.462 | 0                                                                         | 2   | 41   | 257  | 441 | 175  | 120 | 93  | 79  | 6    | 0   | 0   | 0 |
| 7   | 0.700           | 1.550 | 0                                                                         | 0   | 33   | 56   | 190 | 42   | 111 | 24  | 0   | 0    | 0   | 0   | 0 |
| 8   | 1.070           | 1.650 | 0                                                                         | 0   | 0    | 0    | 13  | 266  | 183 | 104 | 0   | 0    | 0   | 0   | 0 |
| 9   | 1.330           | 1.760 | 0                                                                         | 0   | 0    | 0    | 0   | 31   | 30  | 91  | 0   | 0    | 0   | 0   | 0 |
| 10  | 1.500           | 1.730 | 0                                                                         | 0   | 0    | 0    | 0   | 12   | 68  | 88  | 0   | 0    | 0   | 0   | 0 |
| 11  | 1.600           | 1.400 | 0                                                                         | 0   | 0    | 0    | 0   | 8    | 215 | 42  | 68  | 0    | 0   | 0   | 0 |
| 12  | 1.085           | 1.532 | 0                                                                         | 0   | 0    | 0    | 23  | 312  | 62  | 172 | 96  | 77   | 1   | 0   | 0 |
| 13  | 1.268           | 1.525 | 0                                                                         | 0   | 0    | 0    | 7   | 75   | 33  | 77  | 41  | 1    | 0   | 0   | 0 |
| 14  | 1.608           | 1.185 | 0                                                                         | 0   | 0    | 0    | 0   | 11   | 55  | 79  | 94  | 23   | 0   | 0   | 0 |
| 15  | 0.773           | 1.270 | 94                                                                        | 156 | 148  | 481  | 519 | 162  | 176 | 181 | 313 | 358  | 116 | 100 |   |
| 16  | 0.904           | 1.185 | 238                                                                       | 247 | 316  | 171  | 107 | 3    | 19  | 31  | 68  | 229  | 343 | 384 |   |
| 17  | 1.155           | 1.085 | 58                                                                        | 100 | 160  | 259  | 330 | 551  | 213 | 196 | 219 | 144  | 108 | 58  |   |
| 18  | 0.928           | 1.400 | 1074                                                                      | 673 | 552  | 567  | 739 | 1063 | 362 | 124 | 68  | 0    | 12  | 179 |   |
| 19  | 1.310           | 1.345 | 0                                                                         | 0   | 0    | 0    | 11  | 34   | 105 | 46  | 102 | 31   | 0   | 0   |   |
| 20  | 1.290           | 1.123 | 0                                                                         | 0   | 7    | 296  | 257 | 210  | 432 | 478 | 559 | 251  | 25  | 4   |   |
| 21  | 1.560           | 0.994 | 84                                                                        | 92  | 89   | 1    | 0   | 6    | 17  | 102 | 45  | 182  | 98  | 86  |   |
| 22  | 1.102           | 0.929 | 89                                                                        | 218 | 225  | 216  | 242 | 769  | 185 | 0   | 1   | 32   | 81  | 54  |   |
| 23  | 1.260           | 0.740 | 7                                                                         | 2   | 0    | 14   | 15  | 24   | 243 | 308 | 140 | 98   | 127 | 46  |   |
| 24  | 1.538           | 0.663 | 0                                                                         | 0   | 0    | 0    | 43  | 68   | 72  | 69  | 184 | 57   | 51  | 7   |   |
| 25  | 1.615           | 0.631 | 0                                                                         | 0   | 0    | 0    | 0   | 0    | 0   | 19  | 342 | 57   | 28  | 5   |   |
| 26  | 1.025           | 0.623 | 392                                                                       | 304 | 1256 | 1822 | 87  | 83   | 150 | 103 | 88  | 101  | 155 | 328 |   |
| 27  | 1.200           | 0.520 | 59                                                                        | 60  | 89   | 27   | 27  | 26   | 15  | 37  | 50  | 1784 | 489 | 133 |   |
| 28  | 1.278           | 0.915 | 12                                                                        | 11  | 1    | 0    | 10  | 15   | 422 | 117 | 76  | 128  | 171 | 38  |   |
| 29  | 1.000           | 0.800 | 58                                                                        | 268 | 502  | 549  | 968 | 39   | 0   | 0   | 0   | 24   | 45  | 75  |   |

**Alternativ 2D**

| Nr. | Reseptorpunkter |       | Konsentrasjon i ug/m3 med vindstyrke 1 m/s fra angitt retning |     |      |      |     |     |     |     |     |      |     |     |
|-----|-----------------|-------|---------------------------------------------------------------|-----|------|------|-----|-----|-----|-----|-----|------|-----|-----|
|     | X               | Y     | 30                                                            | 60  | 90   | 120  | 150 | 180 | 210 | 240 | 270 | 300  | 330 | 360 |
| 1   | 0.225           | 1.200 | 4                                                             | 105 | 150  | 251  | 75  | 6   | 0   | 0   | 0   | 0    | 0   | 0   |
| 2   | 0.322           | 1.331 | 1                                                             | 17  | 185  | 206  | 140 | 141 | 15  | 0   | 0   | 0    | 0   | 0   |
| 3   | 0.400           | 1.500 | 0                                                             | 0   | 52   | 118  | 86  | 27  | 15  | 0   | 0   | 0    | 0   | 0   |
| 4   | 0.490           | 1.700 | 0                                                             | 0   | 1    | 49   | 238 | 38  | 8   | 0   | 0   | 0    | 0   | 0   |
| 5   | 0.582           | 1.495 | 0                                                             | 0   | 46   | 165  | 347 | 103 | 82  | 47  | 14  | 0    | 0   | 0   |
| 6   | 0.600           | 1.462 | 0                                                             | 2   | 52   | 257  | 439 | 174 | 120 | 93  | 79  | 6    | 0   | 0   |
| 7   | 0.700           | 1.550 | 0                                                             | 0   | 43   | 60   | 184 | 42  | 112 | 24  | 0   | 0    | 0   | 0   |
| 8   | 1.070           | 1.650 | 0                                                             | 0   | 0    | 3    | 51  | 289 | 177 | 96  | 0   | 0    | 0   | 0   |
| 9   | 1.330           | 1.760 | 0                                                             | 0   | 0    | 0    | 0   | 51  | 41  | 90  | 0   | 0    | 0   | 0   |
| 10  | 1.500           | 1.730 | 0                                                             | 0   | 0    | 0    | 0   | 5   | 80  | 91  | 0   | 0    | 0   | 0   |
| 11  | 1.600           | 1.400 | 0                                                             | 0   | 0    | 0    | 0   | 3   | 220 | 49  | 82  | 1    | 0   | 0   |
| 12  | 1.085           | 1.532 | 14                                                            | 57  | 138  | 485  | 224 | 422 | 146 | 281 | 329 | 432  | 98  | 48  |
| 13  | 1.268           | 1.525 | 0                                                             | 0   | 0    | 0    | 43  | 138 | 76  | 108 | 69  | 1    | 0   | 0   |
| 14  | 1.608           | 1.185 | 0                                                             | 0   | 0    | 0    | 0   | 4   | 51  | 67  | 101 | 46   | 0   | 0   |
| 15  | 0.773           | 1.270 | 94                                                            | 154 | 169  | 387  | 499 | 146 | 158 | 165 | 286 | 313  | 99  | 90  |
| 16  | 0.904           | 1.185 | 128                                                           | 145 | 167  | 72   | 116 | 3   | 19  | 31  | 68  | 173  | 182 | 232 |
| 17  | 1.155           | 1.085 | 108                                                           | 119 | 116  | 116  | 133 | 389 | 24  | 1   | 41  | 102  | 123 | 93  |
| 18  | 0.928           | 1.400 | 869                                                           | 553 | 456  | 472  | 610 | 858 | 305 | 118 | 70  | 0    | 9   | 142 |
| 19  | 1.310           | 1.345 | 252                                                           | 210 | 167  | 164  | 200 | 314 | 134 | 59  | 103 | 36   | 41  | 49  |
| 20  | 1.290           | 1.123 | 16                                                            | 15  | 15   | 23   | 2   | 14  | 286 | 190 | 280 | 300  | 104 | 91  |
| 21  | 1.560           | 0.994 | 25                                                            | 28  | 27   | 0    | 0   | 3   | 17  | 114 | 39  | 124  | 49  | 26  |
| 22  | 1.102           | 0.929 | 86                                                            | 121 | 115  | 116  | 146 | 592 | 103 | 0   | 1   | 31   | 63  | 52  |
| 23  | 1.260           | 0.740 | 2                                                             | 1   | 0    | 7    | 8   | 31  | 254 | 334 | 162 | 133  | 134 | 69  |
| 24  | 1.538           | 0.663 | 0                                                             | 0   | 0    | 0    | 22  | 35  | 37  | 53  | 191 | 61   | 60  | 2   |
| 25  | 1.615           | 0.631 | 0                                                             | 0   | 0    | 0    | 0   | 0   | 0   | 13  | 318 | 59   | 42  | 1   |
| 26  | 1.025           | 0.623 | 425                                                           | 315 | 1258 | 1817 | 88  | 83  | 150 | 103 | 88  | 101  | 154 | 309 |
| 27  | 1.200           | 0.520 | 80                                                            | 82  | 86   | 39   | 38  | 38  | 27  | 37  | 46  | 1769 | 482 | 200 |
| 28  | 1.278           | 0.915 | 4                                                             | 3   | 0    | 0    | 5   | 17  | 441 | 192 | 90  | 132  | 161 | 60  |
| 29  | 1.000           | 0.800 | 60                                                            | 108 | 569  | 534  | 961 | 39  | 0   | 0   | 0   | 24   | 43  | 65  |

Alternativ 3

| Nr | Reseptorpunkter |       | Konsentrasjon i ug/m <sup>3</sup> med vindstyrke 1m/s fra angitt retning |     |      |      |     |     |     |     |     |      |     |     |   |
|----|-----------------|-------|--------------------------------------------------------------------------|-----|------|------|-----|-----|-----|-----|-----|------|-----|-----|---|
|    | X               | Y     | 30                                                                       | 60  | 90   | 120  | 150 | 180 | 210 | 240 | 270 | 300  | 330 | 360 |   |
| 1  | 0.225           | 1.200 | 4                                                                        | 84  | 100  | 241  | 70  | 6   | 0   | 0   | 0   | 0    | 0   | 0   | 0 |
| 2  | 0.322           | 1.331 | 1                                                                        | 15  | 117  | 185  | 117 | 129 | 13  | 0   | 0   | 0    | 0   | 0   | 0 |
| 3  | 0.400           | 1.500 | 0                                                                        | 0   | 27   | 69   | 71  | 20  | 14  | 0   | 0   | 0    | 0   | 0   | 0 |
| 4  | 0.490           | 1.700 | 0                                                                        | 0   | 0    | 12   | 239 | 26  | 8   | 0   | 0   | 0    | 0   | 0   | 0 |
| 5  | 0.582           | 1.495 | 0                                                                        | 0   | 14   | 78   | 333 | 73  | 80  | 54  | 17  | 0    | 0   | 0   | 0 |
| 6  | 0.600           | 1.462 | 0                                                                        | 0   | 19   | 177  | 421 | 135 | 113 | 107 | 99  | 8    | 0   | 0   | 0 |
| 7  | 0.700           | 1.550 | 0                                                                        | 0   | 13   | 14   | 158 | 34  | 74  | 25  | 0   | 0    | 0   | 0   | 0 |
| 8  | 1.070           | 1.650 | 0                                                                        | 0   | 0    | 2    | 37  | 260 | 45  | 44  | 0   | 0    | 0   | 0   | 0 |
| 9  | 1.330           | 1.760 | 0                                                                        | 0   | 0    | 0    | 0   | 38  | 20  | 43  | 0   | 0    | 0   | 0   | 0 |
| 10 | 1.500           | 1.730 | 0                                                                        | 0   | 0    | 0    | 0   | 9   | 55  | 42  | 0   | 0    | 0   | 0   | 0 |
| 11 | 1.600           | 1.400 | 0                                                                        | 0   | 0    | 0    | 0   | 5   | 217 | 17  | 42  | 0    | 0   | 0   | 0 |
| 12 | 1.085           | 1.532 | 10                                                                       | 43  | 104  | 366  | 163 | 366 | 100 | 146 | 193 | 279  | 73  | 36  |   |
| 13 | 1.268           | 1.525 | 0                                                                        | 0   | 0    | 0    | 34  | 89  | 39  | 60  | 32  | 0    | 0   | 0   | 0 |
| 14 | 1.608           | 1.185 | 0                                                                        | 0   | 0    | 0    | 0   | 6   | 52  | 52  | 50  | 21   | 0   | 0   | 0 |
| 15 | 0.773           | 1.270 | 34                                                                       | 54  | 110  | 473  | 576 | 193 | 210 | 211 | 327 | 308  | 177 | 115 |   |
| 16 | 0.904           | 1.185 | 23                                                                       | 29  | 20   | 11   | 133 | 180 | 180 | 183 | 215 | 315  | 70  | 29  |   |
| 17 | 1.155           | 1.085 | 35                                                                       | 34  | 38   | 25   | 36  | 313 | 60  | 1   | 41  | 64   | 18  | 25  |   |
| 18 | 0.928           | 1.400 | 10                                                                       | 12  | 11   | 17   | 38  | 49  | 52  | 70  | 48  | 0    | 0   | 0   |   |
| 19 | 1.310           | 1.345 | 190                                                                      | 158 | 126  | 124  | 154 | 233 | 93  | 25  | 48  | 8    | 31  | 37  |   |
| 20 | 1.290           | 1.123 | 0                                                                        | 0   | 2    | 96   | 77  | 72  | 240 | 112 | 166 | 98   | 46  | 51  |   |
| 21 | 1.560           | 0.994 | 41                                                                       | 45  | 43   | 1    | 0   | 6   | 18  | 108 | 16  | 76   | 62  | 42  |   |
| 22 | 1.102           | 0.929 | 29                                                                       | 30  | 26   | 28   | 67  | 563 | 278 | 202 | 19  | 24   | 25  | 18  |   |
| 23 | 1.260           | 0.740 | 3                                                                        | 1   | 0    | 15   | 16  | 25  | 250 | 330 | 159 | 113  | 33  | 30  |   |
| 24 | 1.538           | 0.663 | 0                                                                        | 0   | 0    | 0    | 46  | 73  | 78  | 75  | 191 | 41   | 20  | 4   |   |
| 25 | 1.615           | 0.631 | 0                                                                        | 0   | 0    | 0    | 0   | 0   | 0   | 20  | 351 | 39   | 21  | 2   |   |
| 26 | 1.025           | 0.623 | 358                                                                      | 316 | 1264 | 1817 | 86  | 82  | 150 | 103 | 88  | 101  | 143 | 296 |   |
| 27 | 1.200           | 0.520 | 63                                                                       | 68  | 94   | 23   | 22  | 23  | 26  | 38  | 48  | 1780 | 498 | 107 |   |
| 28 | 1.278           | 0.915 | 5                                                                        | 5   | 0    | 0    | 11  | 16  | 438 | 126 | 44  | 59   | 31  | 33  |   |
| 29 | 1.000           | 0.800 | 132                                                                      | 226 | 516  | 556  | 965 | 39  | 0   | 0   | 0   | 17   | 38  | 11  |   |



**Norsk institutt for luftforskning (NILU)**  
Postboks 100, N-2007 Kjeller

|                                                                                                                                                                                                                                                                                                                                                                                                                           |                                    |                                      |                |
|---------------------------------------------------------------------------------------------------------------------------------------------------------------------------------------------------------------------------------------------------------------------------------------------------------------------------------------------------------------------------------------------------------------------------|------------------------------------|--------------------------------------|----------------|
| RAPPORTTYPE<br>OPPDRAGSRAPPORT                                                                                                                                                                                                                                                                                                                                                                                            | RAPPORT NR. OR 81/98               | ISBN-82-425-1043-1<br>ISSN 0807-7207 |                |
| DATO<br><i>4.12.98</i>                                                                                                                                                                                                                                                                                                                                                                                                    | ANSV. SIGN.<br><i>Gy Stein Hov</i> | ANT. SIDER<br>17                     | PRIS<br>NOK 30 |
| TITTEL<br>Nye beregninger av luftforurensning for alternativer av utbygging i Bjørvika, Oslo.                                                                                                                                                                                                                                                                                                                             |                                    | PROSJEKTLEDER<br>Dag Tønnesen        |                |
|                                                                                                                                                                                                                                                                                                                                                                                                                           |                                    | NILU PROSJEKT NR.<br>O-98122         |                |
| FORFATTER(E)<br>Dag Tønnesen og Ivar Haugsbakk                                                                                                                                                                                                                                                                                                                                                                            |                                    | TILGJENGELIGHET *<br>A               |                |
|                                                                                                                                                                                                                                                                                                                                                                                                                           |                                    | OPPDRAKGIVERS REF.<br>Kjell Lønne    |                |
| OPPDRAKGIVER<br>Asplan Viak, Rådhustorget 5<br>Postboks 24<br>1301 Sandvika                                                                                                                                                                                                                                                                                                                                               |                                    |                                      |                |
| STIKKORD<br>Spredningsberegninger                                                                                                                                                                                                                                                                                                                                                                                         | Nitrogenoksid                      | Oslo                                 |                |
| REFERAT<br>Det er utført beregning av produksjon og tilhørende konsentrasjoner av NO <sub>x</sub> for fem alternative veiløsninger for Bjørvikaforbindelsen mellom Ekebergtunnelen og Oslo-tunnelen. Beregningene bygger på beregninger utført i 1996 for litt andre utforminger av vegsystemet. Utbyggingen medfører forbedring av luftkvaliteten i området, men anbefalte luftkvalitetskriterier vil kunne overskrides. |                                    |                                      |                |
| TITLE New calculation of air pollution from three alternatives for the road-connection from the Ekeberg-tunnel to the Oslo-tunnel (Bjørvika-connection).                                                                                                                                                                                                                                                                  |                                    |                                      |                |
| ABSTRACT                                                                                                                                                                                                                                                                                                                                                                                                                  |                                    |                                      |                |

- \* Kategorier:      A    Åpen - kan bestilles fra NILU  
                          B    Begrenset distribusjon  
                          C    Kan ikke utleveres